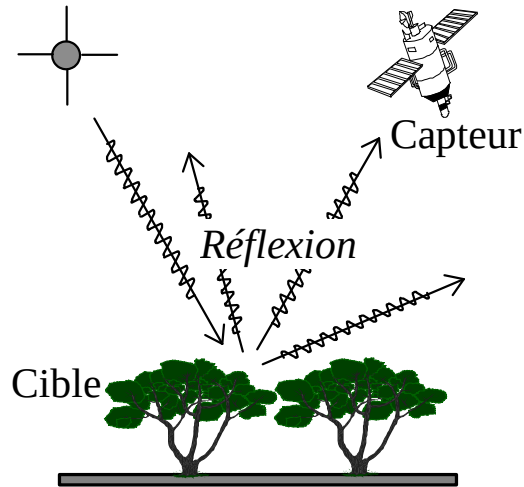


A grayscale world map showing the continents of North America, South America, Europe, Africa, Asia, and Australia. The map is centered on the Atlantic Ocean.

Domaine optique
0.4 μm – 5 μm

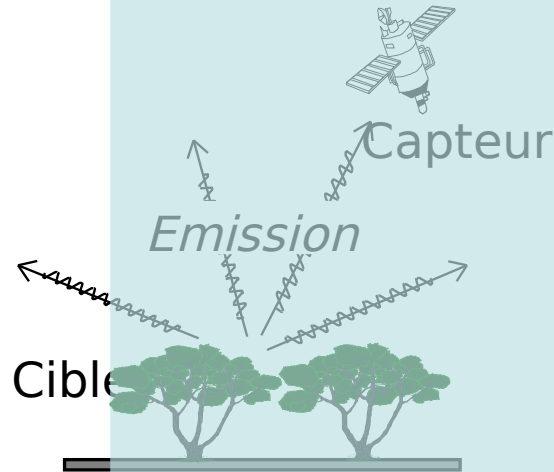
Modes d'observations



VIS
PIR, MIR



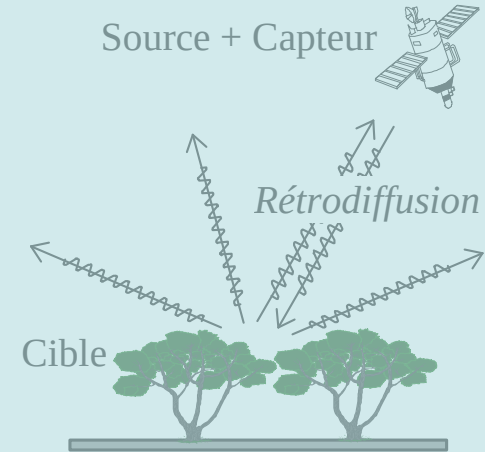
0.4-0.7 μm



IRT
Micro-ondes
passives



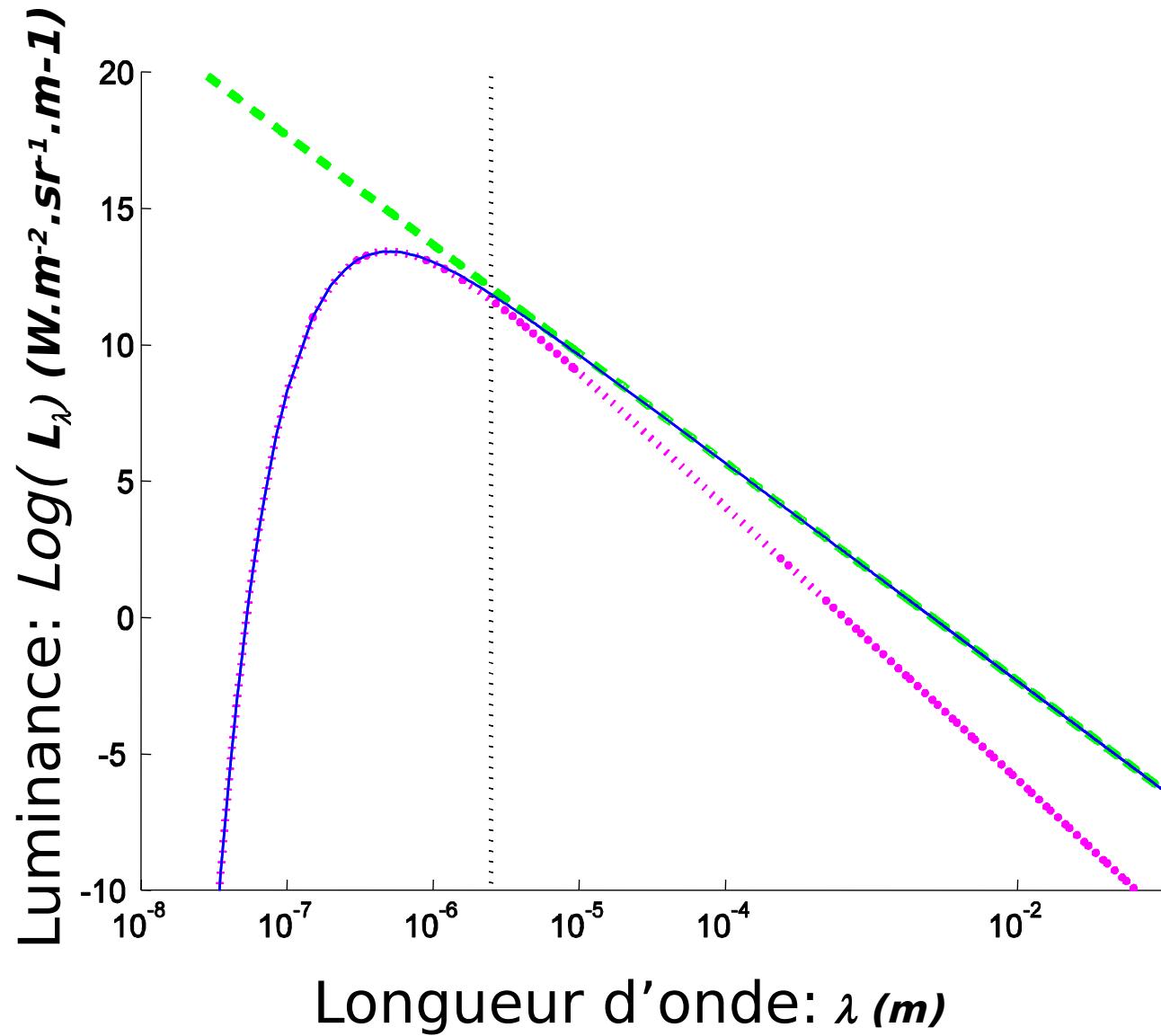
5 μm



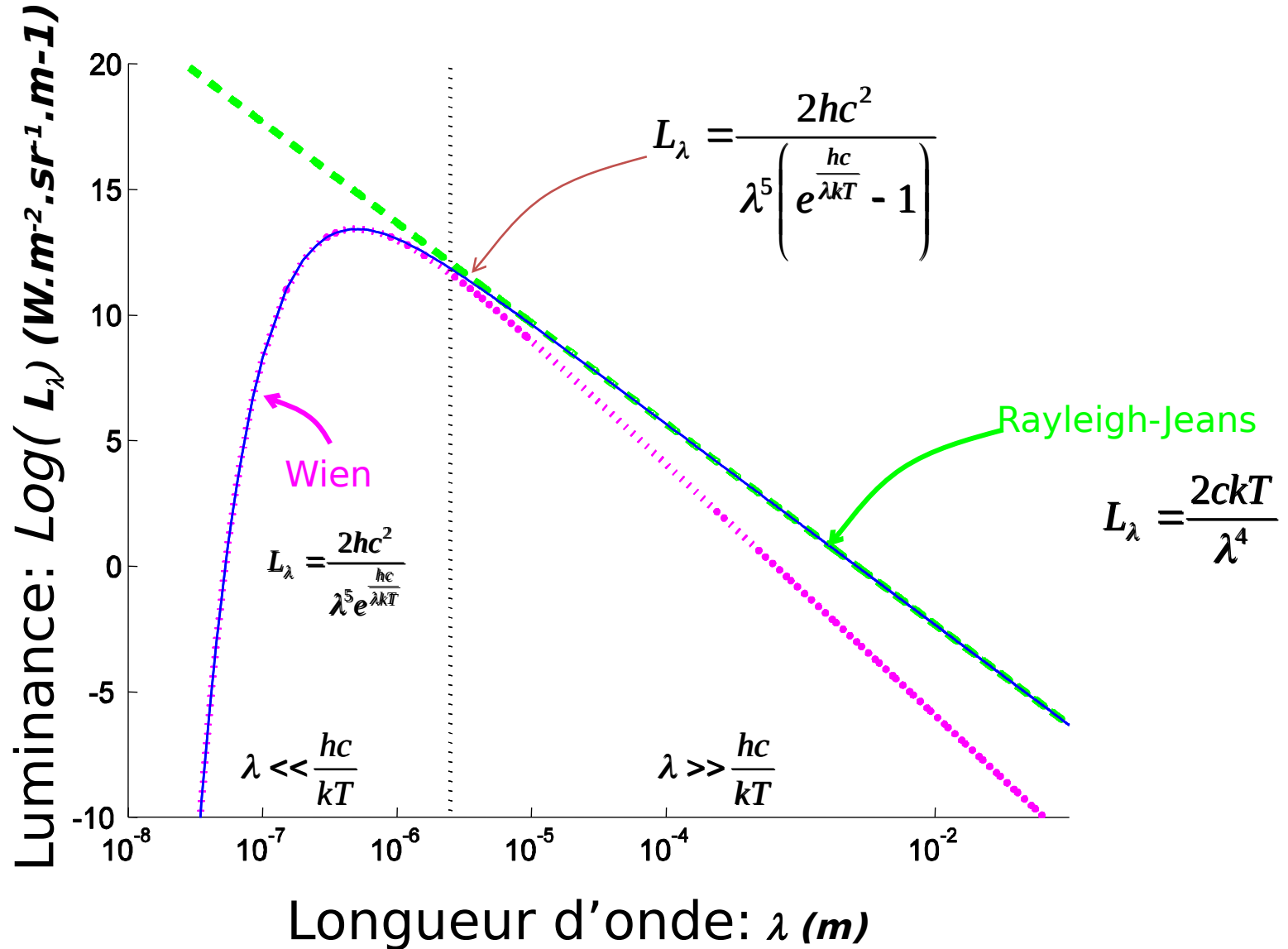
Micro-ondes
'actives'



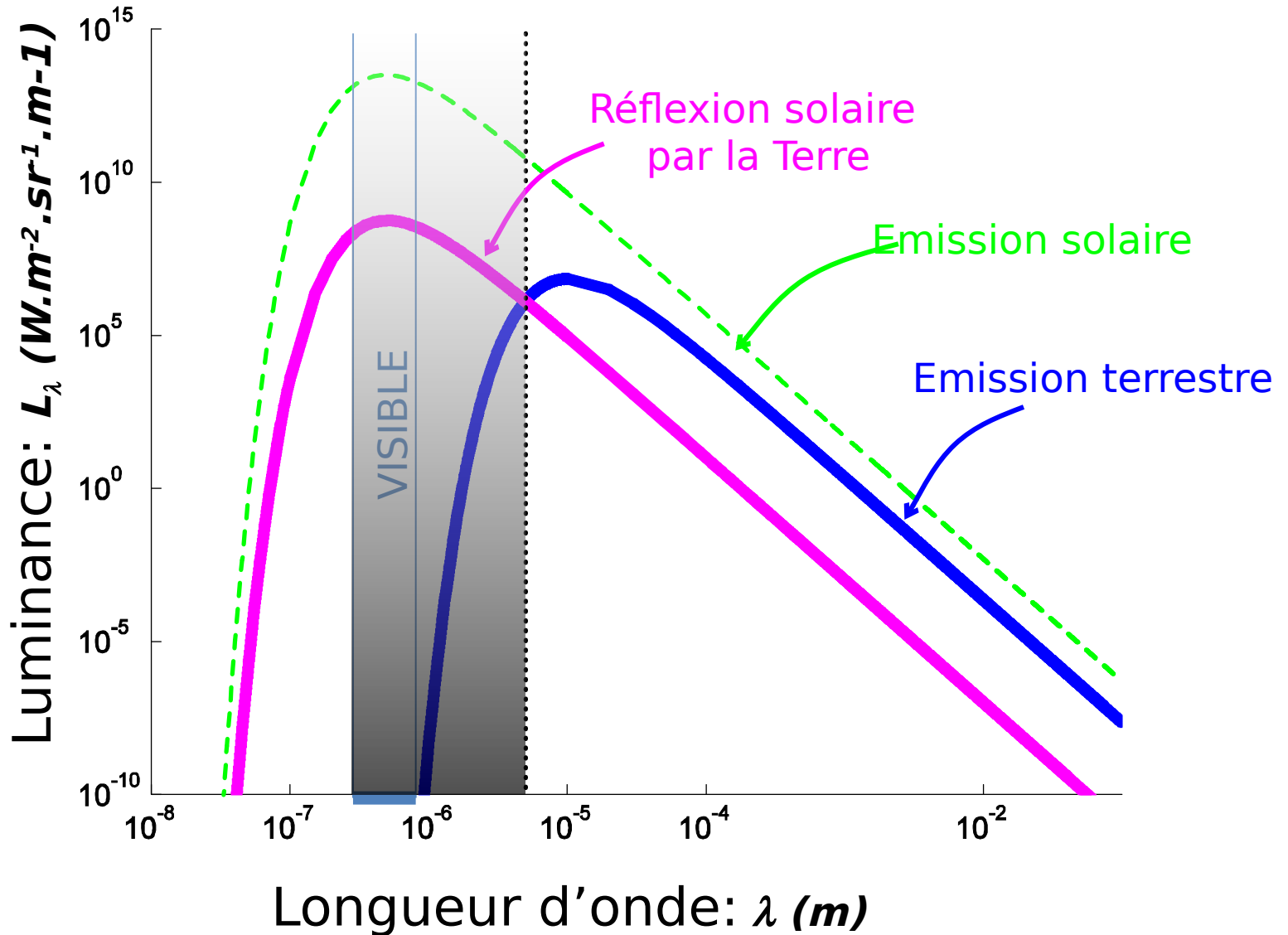
0.75-150 cm



Rayonnement du corps noir: Approximations de Wien et de Rayleigh-Jeans



DOMAINE OPTIQUE



Eclairement solaire reçu par la Terre

Émission totale émise par un corps noir : $L := \int_0^{\infty} L_{\lambda} d\lambda$ ($W.m^{-2}.sr^{-1}$)

Émission totale émise par un corps noir : $M = \pi L = \sigma T^4$

Constante de Stefan-Boltzmann: $\sigma = 5.67 \cdot 10^{-8} SI$

Flux total émis par le soleil : $\Phi = \sigma T_{sol}^4 4\pi R_{sol}^2$

Eclairement reçu par la Terre : $E = \frac{\sigma T_{sol}^4 4\pi R_{sol}^2}{4\pi D_{ST}^2} = \frac{\sigma T_{sol}^4 R_{sol}^2}{D_{ST}^2}$

A.N.: $R_{sol} = 696 \cdot 10^6 m$
 $D_{ST} = 150 \cdot 10^9 m$
 $T_{sol} = 5800 K$

⇒

$$E = 1380 W.m^{-2}$$

Quelques ordres de grandeur

Rayonnement émis par Soleil (par Unité de Surface): $M = \sigma T^4$ 64 MW.m^{-2}
($\sigma = 5.67 \cdot 10^{-8} \text{ SI}$, $T_{\text{sol}} = 5800 \text{ K}$)

Longueur d'onde d'émission max.: $\lambda_{\text{max}} = \frac{2.898 \cdot 10^{-3}}{T}$ **500 nm** (\square dans le *visible*)

Eclairement reçu par la Terre: $E = \frac{\sigma T_{\text{sol}}^4 4\pi R_{\text{sol}}^2}{4\pi D_{\text{ST}}^2} = \frac{\sigma T_{\text{sol}}^4 R_{\text{sol}}^2}{D_{\text{ST}}^2}$ 1380 W.m^{-2}
($R_{\text{sol}} = 696 \cdot 10^6 \text{ m}$, $D_{\text{ST}} = 150 \cdot 10^9 \text{ m}$)

TERRE: ~~Disque ($S = \pi R^2$)~~ mais **Sphère** ($S = 4\pi R^2$) \Rightarrow **E 345 W.m⁻²**

Absorbe / Emet: $240 \text{ W.m}^{-2} \Rightarrow T = \sqrt[4]{\frac{240}{\sigma}}$ **-18°C**

Longueur d'onde d'émission max.: $\lambda_{\text{max}} = \frac{2.898 \cdot 10^{-3}}{T}$ **10 μm** (\square dans l'*infrarouge*)

Le Rayonnement électromagnétique à la surface de la Terre

LA SURFACE TERRESTRE:

- **Reçoit** rayonnement dans le **visible**
- **Emet** rayonnement dans l'**Infrarouge**

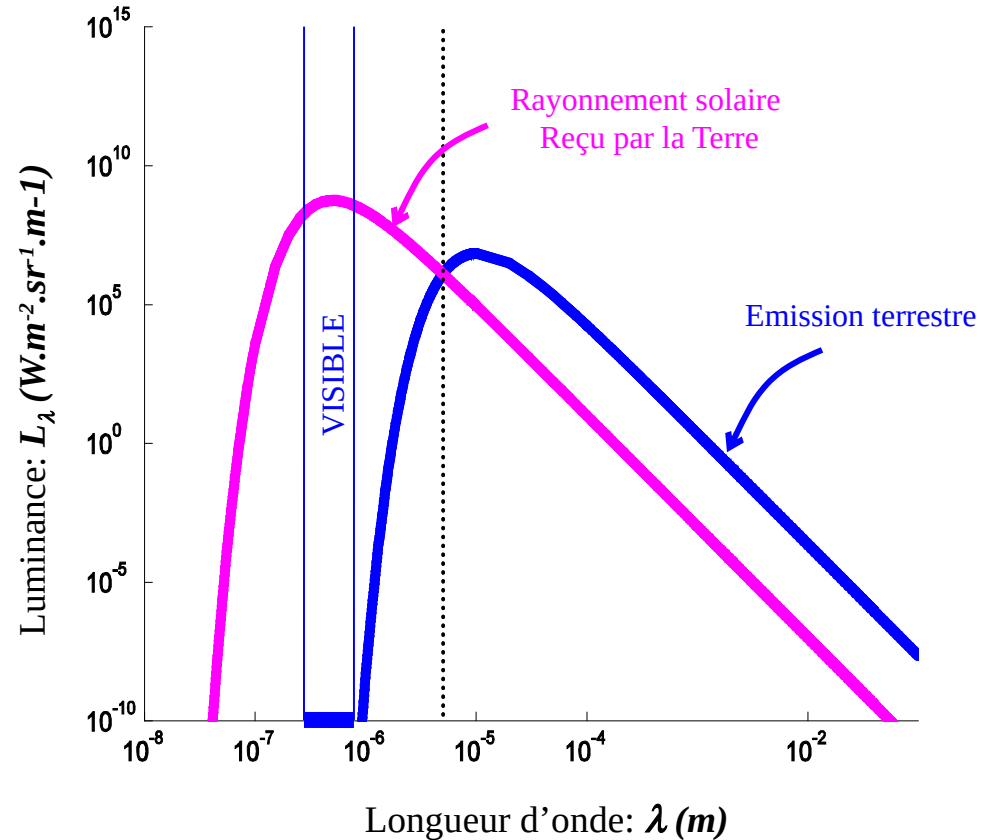
L'ATMOSPHERE:

- **Transparente** dans le **visible**
- **Absorbe** le rayonnement **Infrarouge**

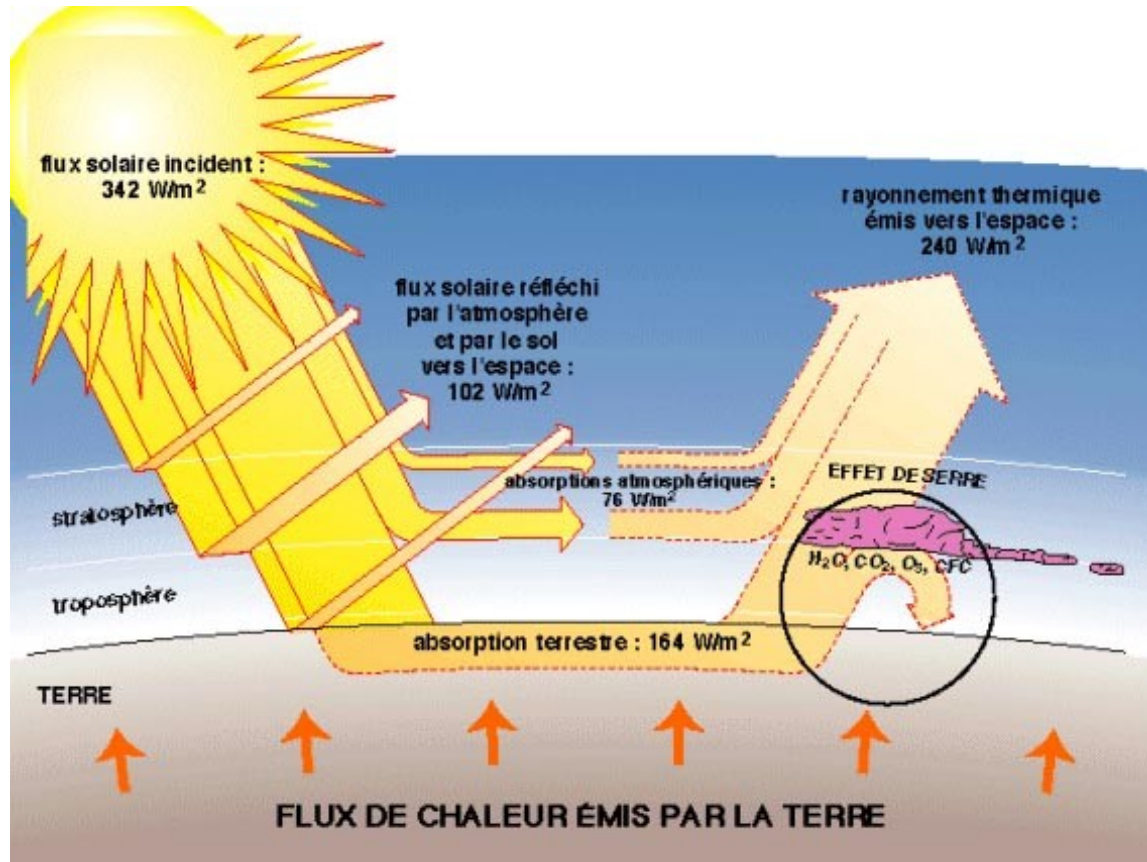
Responsables: gaz « à effets de serre »:

H_2O , CO_2 , NH_4 ,

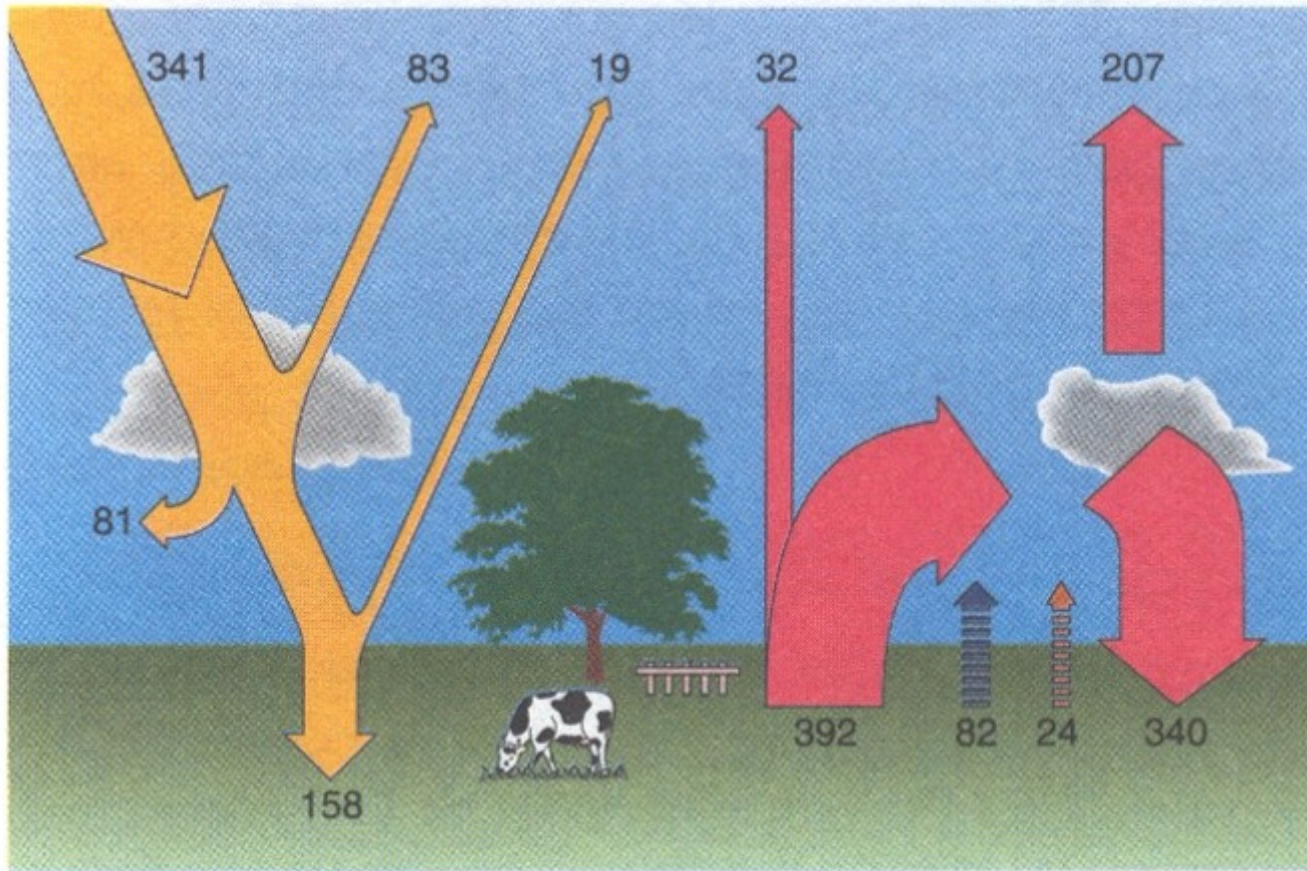
☉ $T_{surf. Terre}$: ~~$-18^\circ C$~~ ☐ $15^\circ C$



EFFET DE SERRE



EFFET DE SERRE



Source: R. Sadourny, 1994

Mesures Optiques (0.4 - 5 μm)

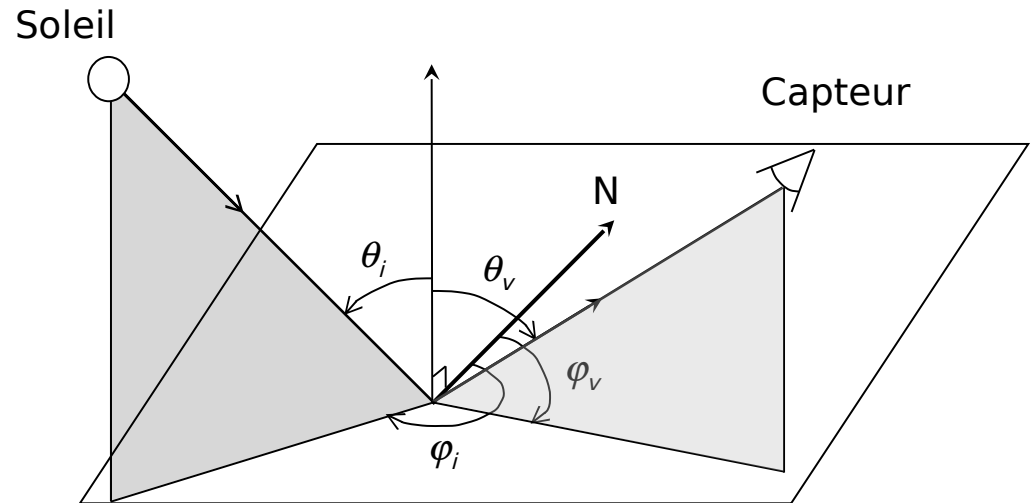
(Réflexion du rayonnement solaire)

Réflectance: caractérise les surfaces étudiées

Réflectance bidirectionnelle:

$$\rho(\theta_i, \varphi_i, \theta_v, \varphi_v, \lambda) = \frac{L_r}{E_i} = \frac{L_r}{L_i \cos \theta_i d\Omega_i}$$

$$\text{Albédo: } a = \frac{\int_{\text{hém.}} L_r \cos \theta_v d\Omega_v}{\int_{\text{hém.}} L_i \cos \theta_i d\Omega_i} = \frac{M}{E_i}$$

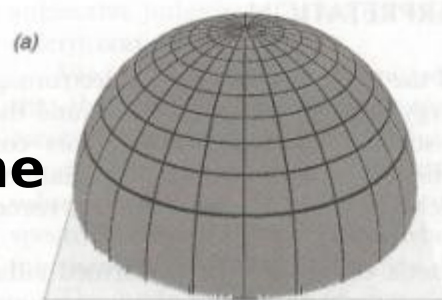


Facteur de réflectance:

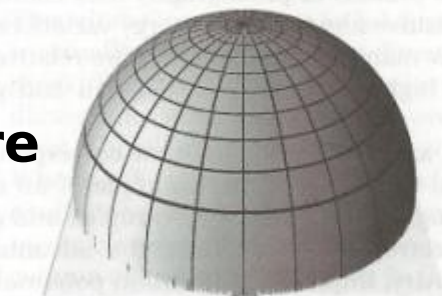
$$\rho_b = \frac{\rho_r}{\rho_r^{\text{ref}}} = \frac{L_r}{L_r^{\text{ref}}} = \frac{\pi L_r}{E_i} \text{ avec } E_i = L_{\text{sol}} \frac{\pi R_{\text{sol}}^2}{D_{\text{ST}}^2} \cos \theta_i \Rightarrow \boxed{\rho_b = \frac{1}{L_{\text{sol}} R_{\text{sol}}^2} D_{\text{ST}}^2 \frac{L_r}{\cos \theta'}}$$

Exemples de réflectances bidirectionnelles

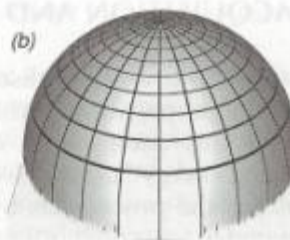
Lambertienne



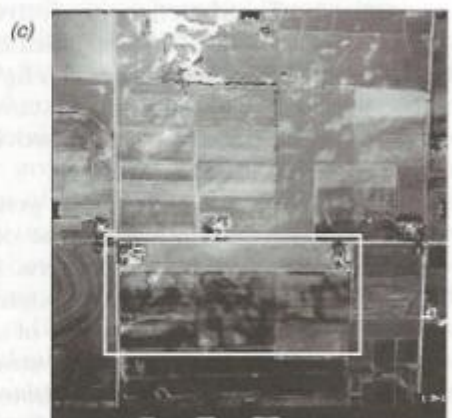
Intermédiaire



Spéculaire²



Simulation de la réflectance
d'un champ agricole



Champs photographié
depuis le nord



Champs photographié
depuis le sud

Effet spéculaire sur un surface d'eau



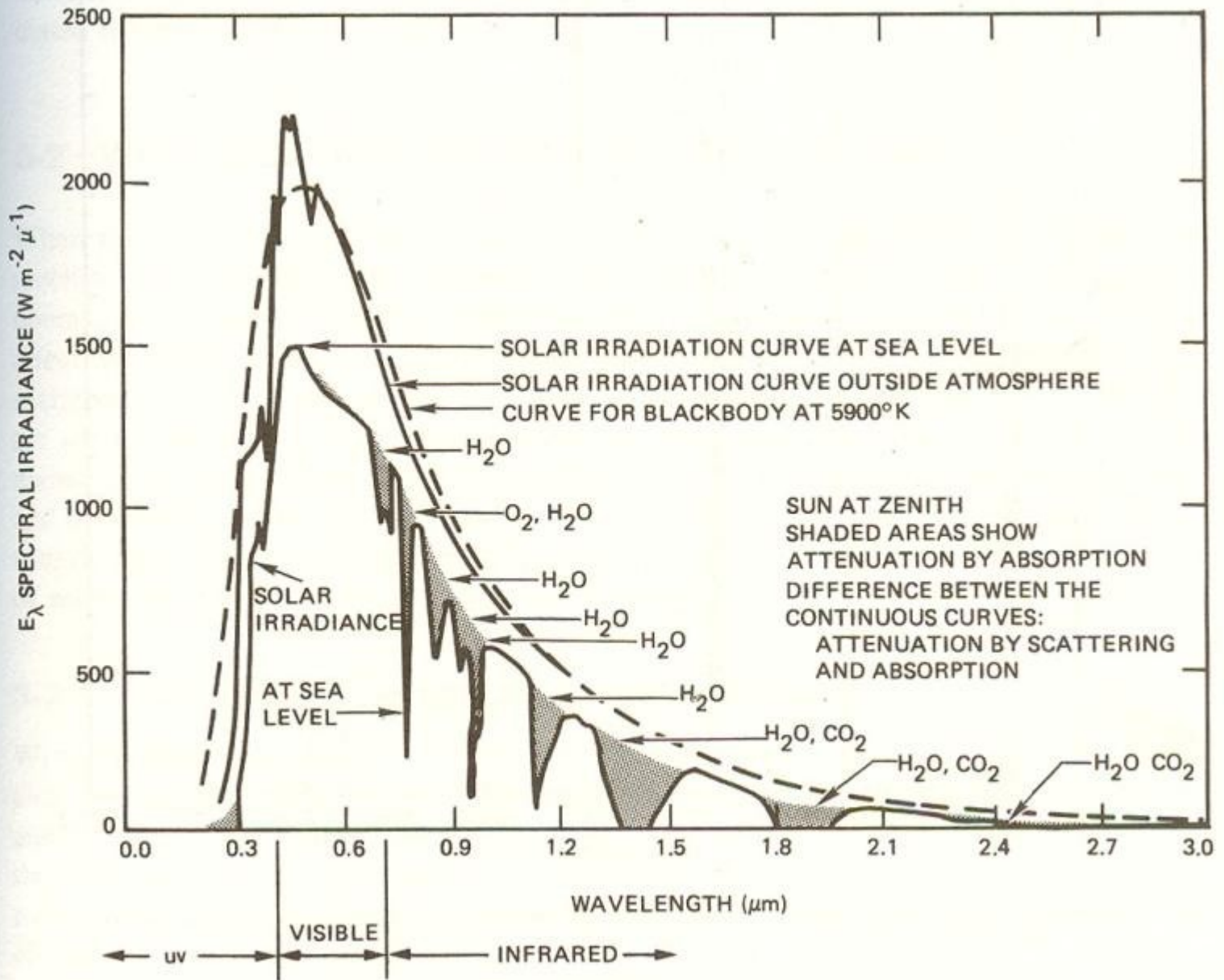
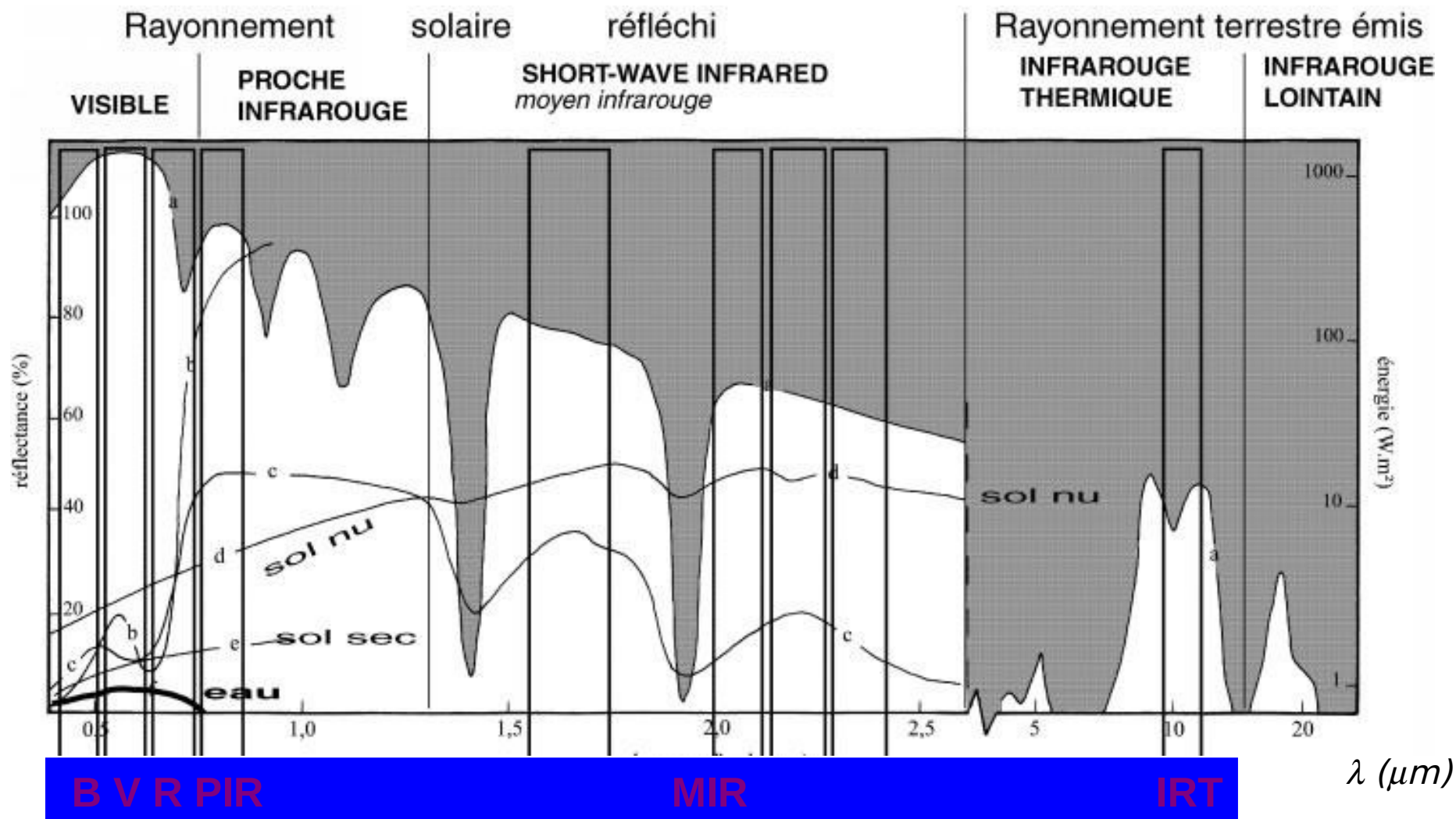


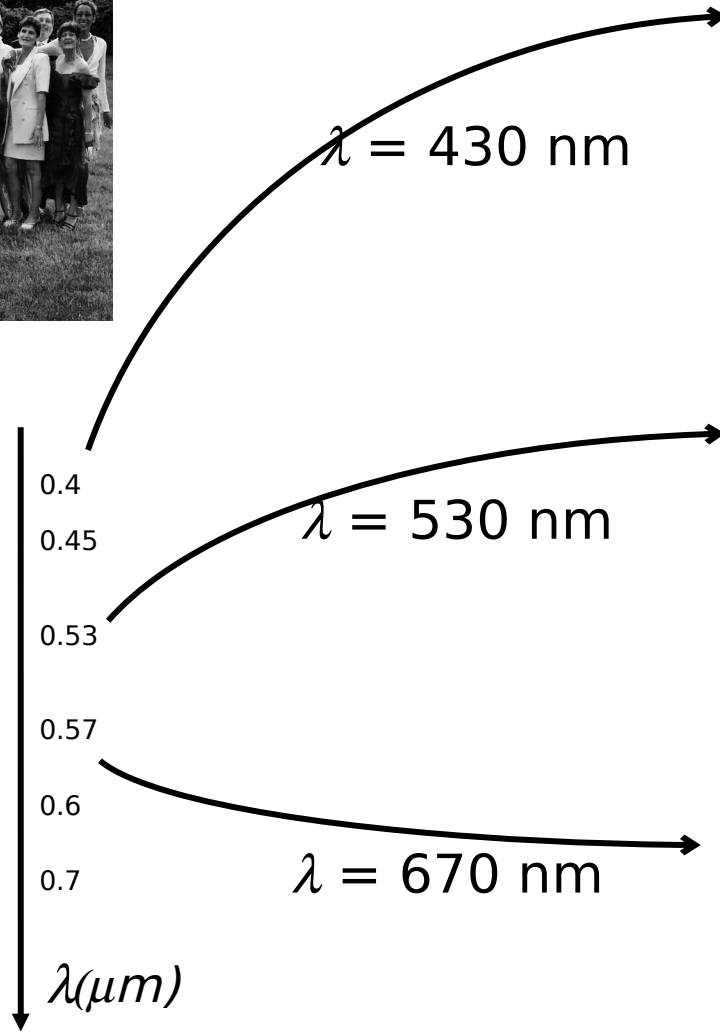
Figure 3-2. Sun illumination spectral irradiance at the Earth's surface. (From Chahine, et al. 1983.)

Transmission atmosphérique

Signatures spectrales



perception humaine



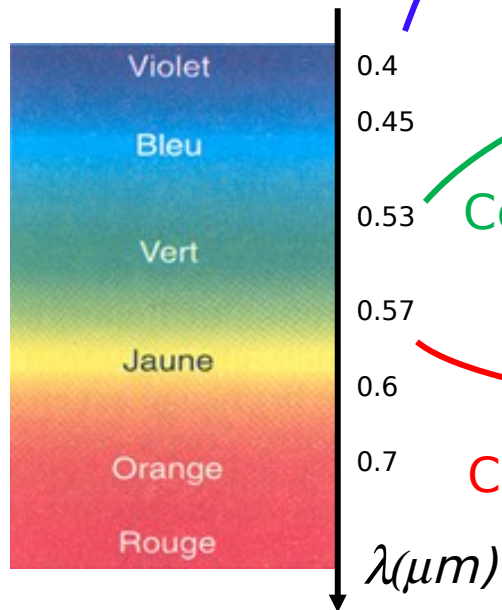
Perception humaine



Cône B (5%): $\lambda = 430 \text{ nm}$

Cône V (35%): $\lambda = 530 \text{ nm}$

Cône R (60%): $\lambda = 670 \text{ nm}$



Acquisition (capteur)

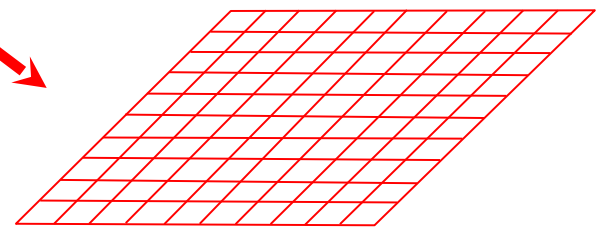
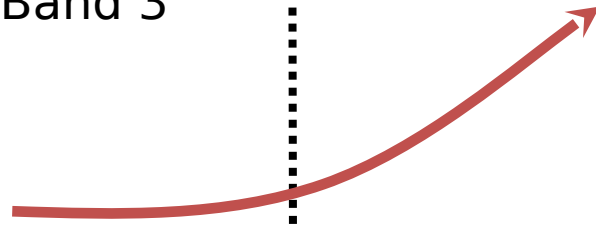
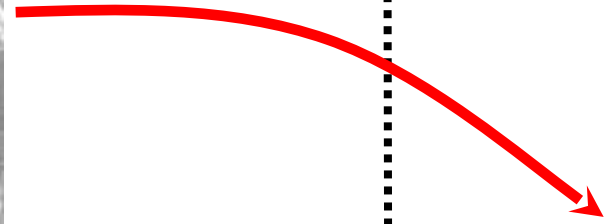
Visualisation (logiciel)



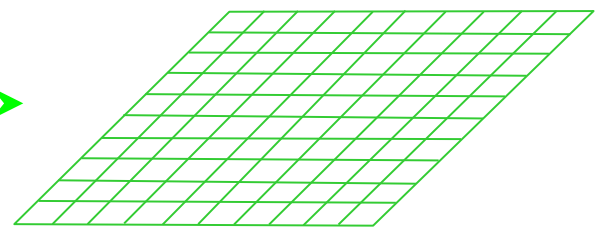
Band 1

Band 2

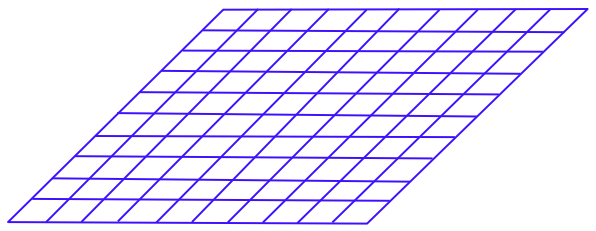
Band 3



Rouge

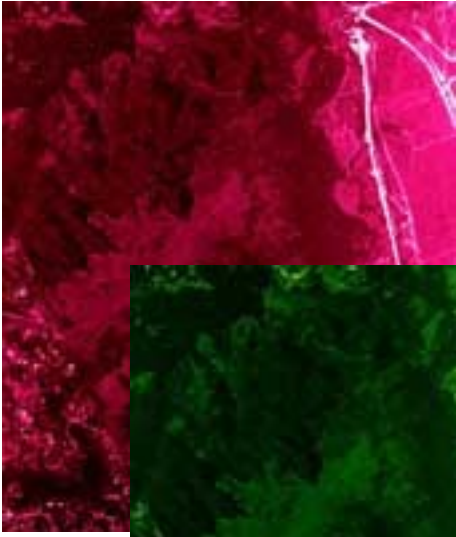


Vert

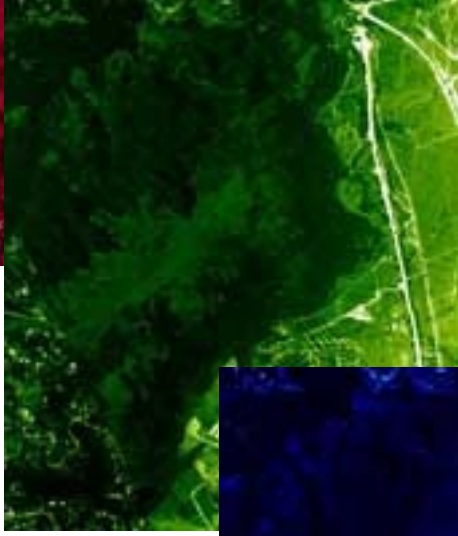


Bleu

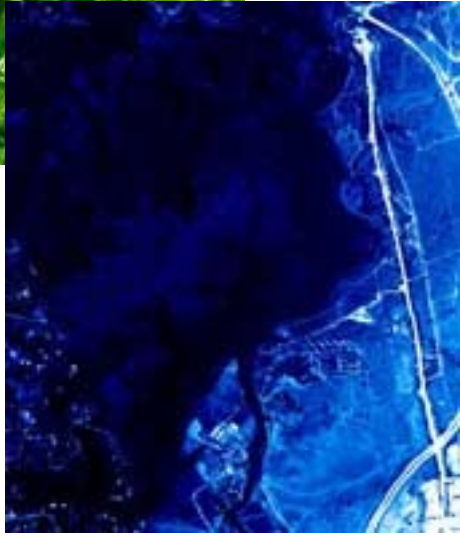




+



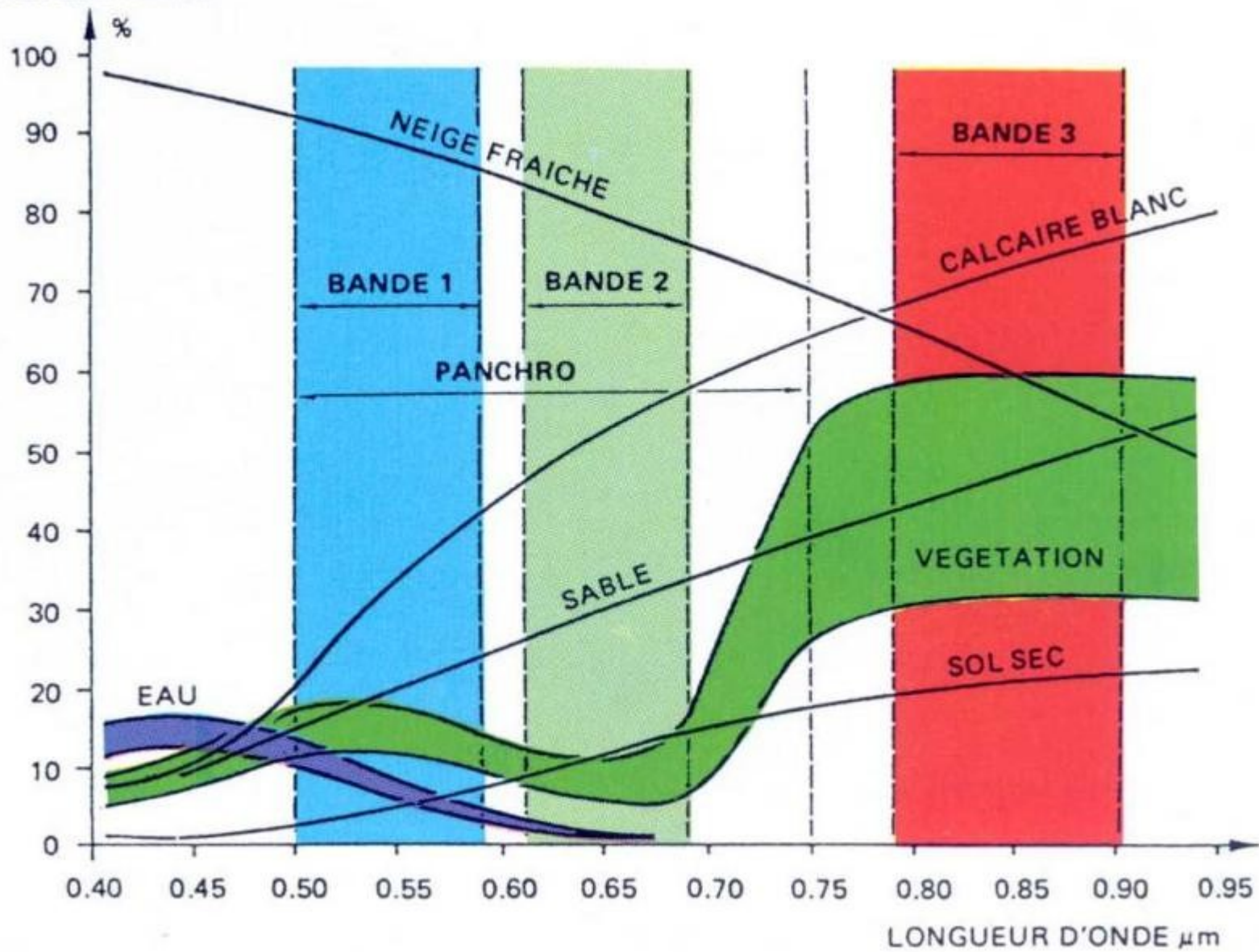
+



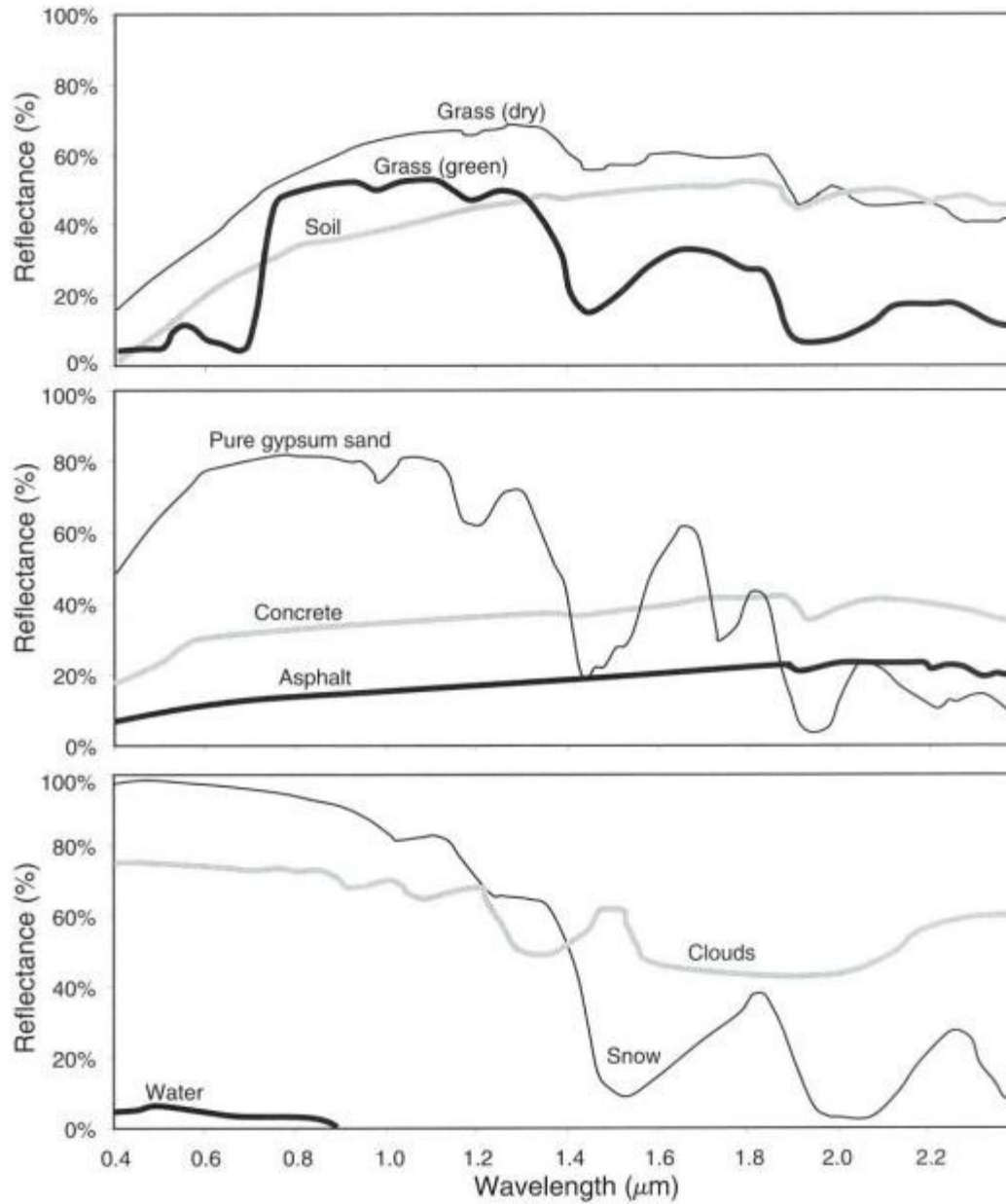
=



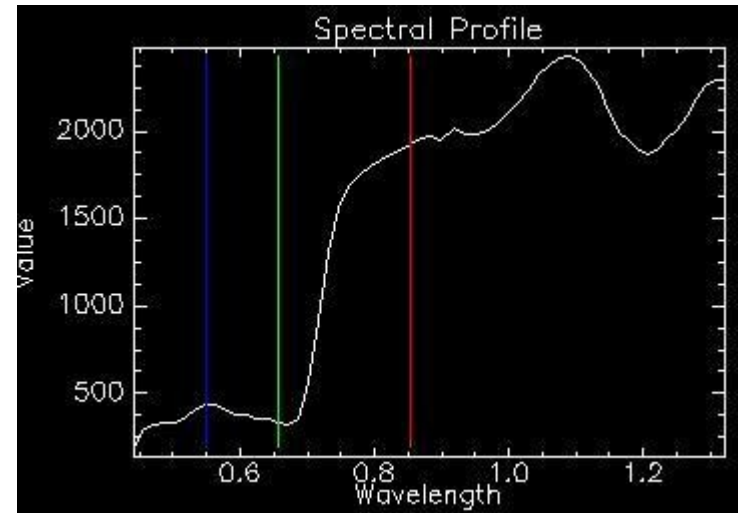
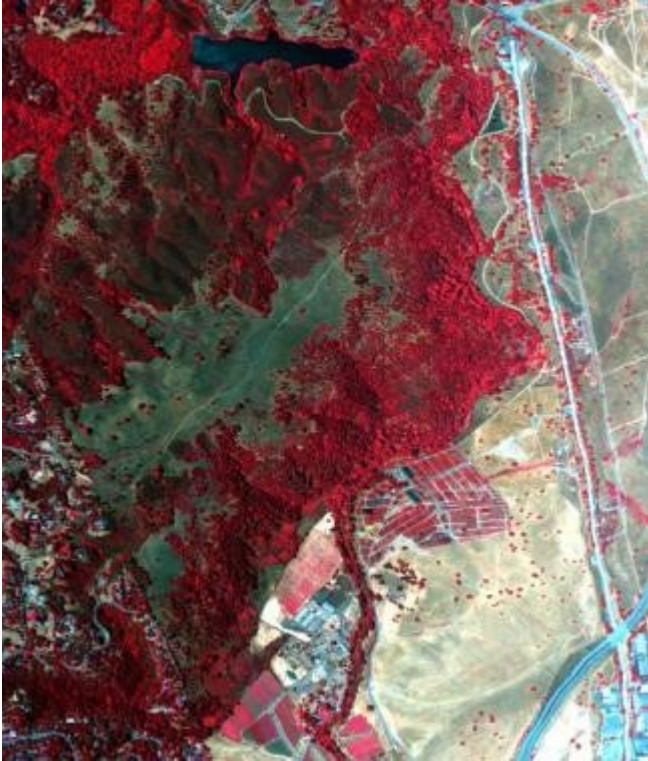
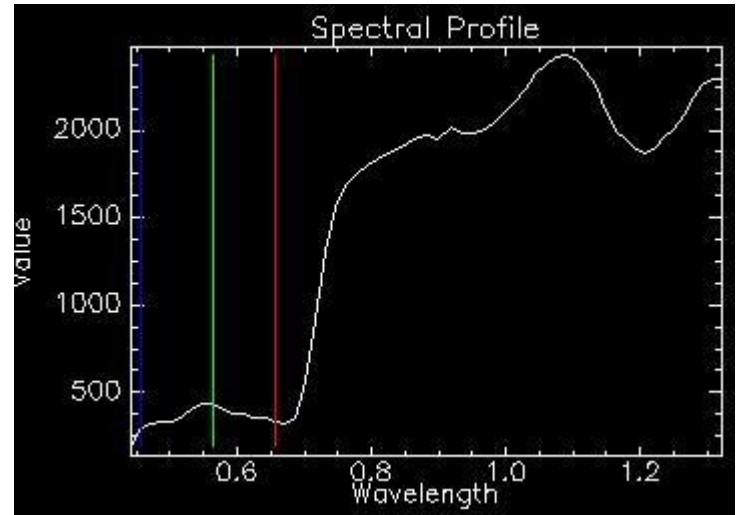
REFLECTANCE



Signatures spectrales de différents types de surfaces



Source: Lillesand *et al.*, 2



DISCRIMINATION DE LA VEGETATION avec l'InfraRouge



Source: Lillesand *et al.*, 2004

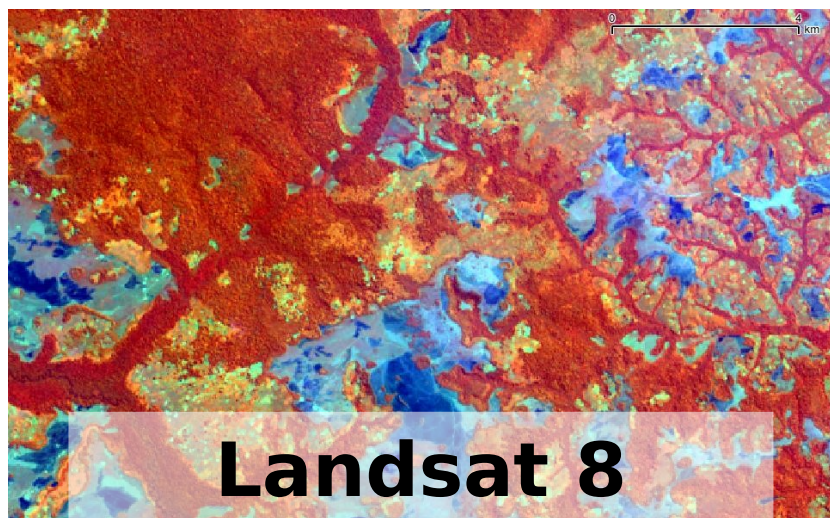
DISCRIMINATION DE LA VEGETATION avec l'InfraRouge



Source: Lillesand *et al.*, 2

Introduction à la télédétection

Bande spectrale

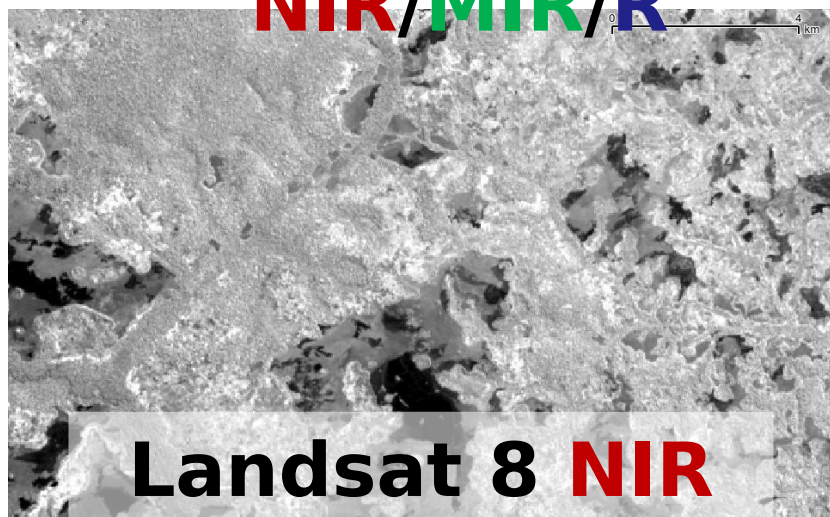


Landsat 8

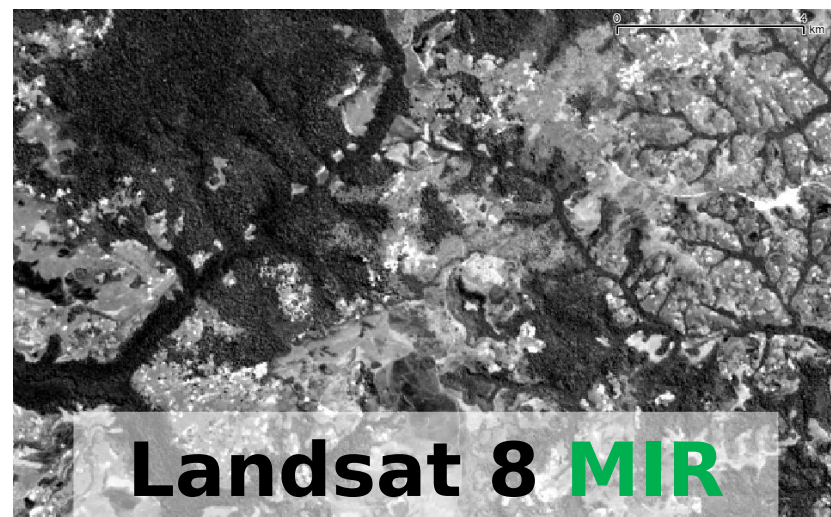
NIR/MIR/R



Landsat 8 R



Landsat 8 NIR



Landsat 8 MIR

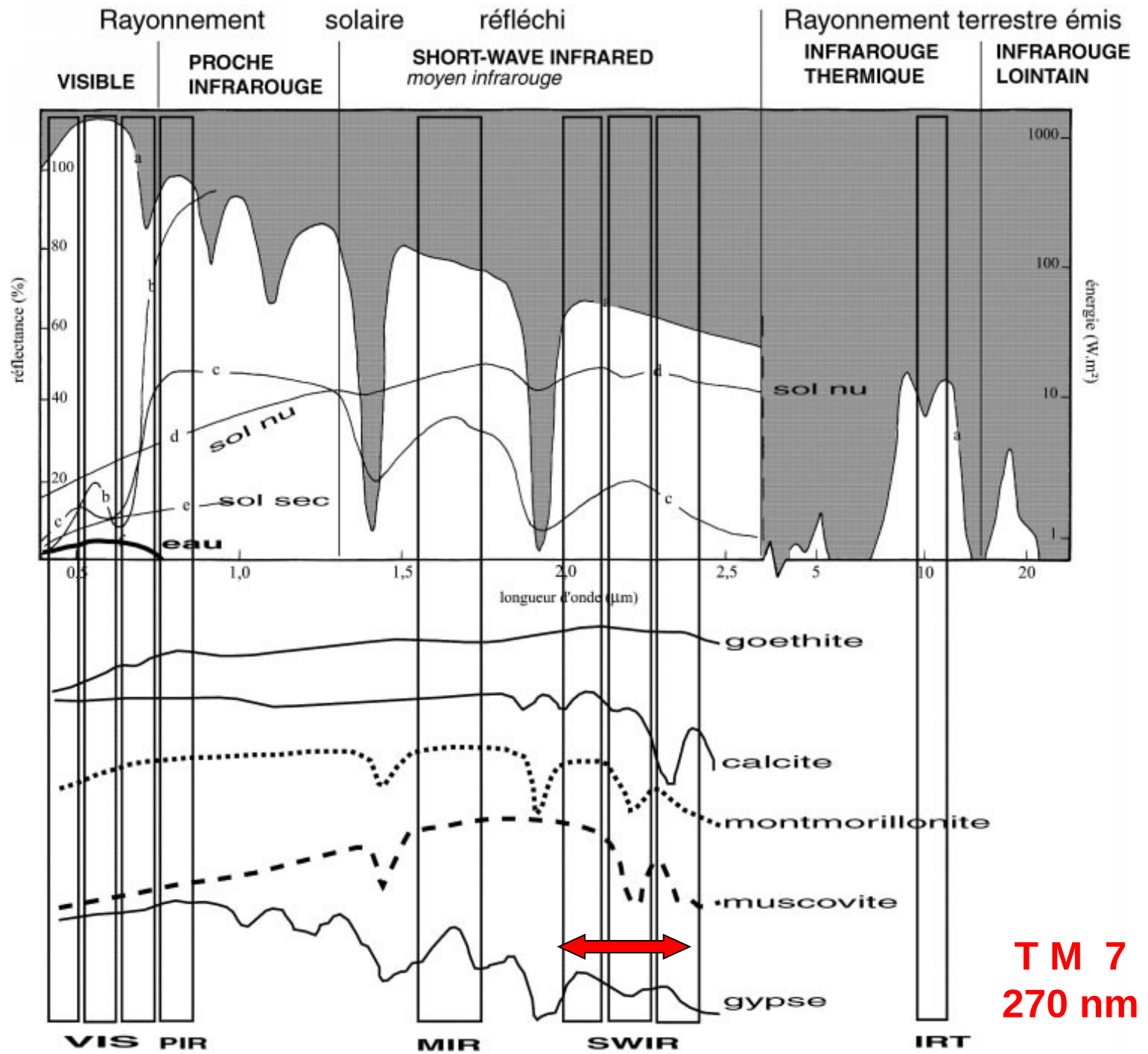
DISCRIMINATION Feuillus / conifères avec l'InfraRouge

Canal panchromatique
(0.4 - 0.7 μm)

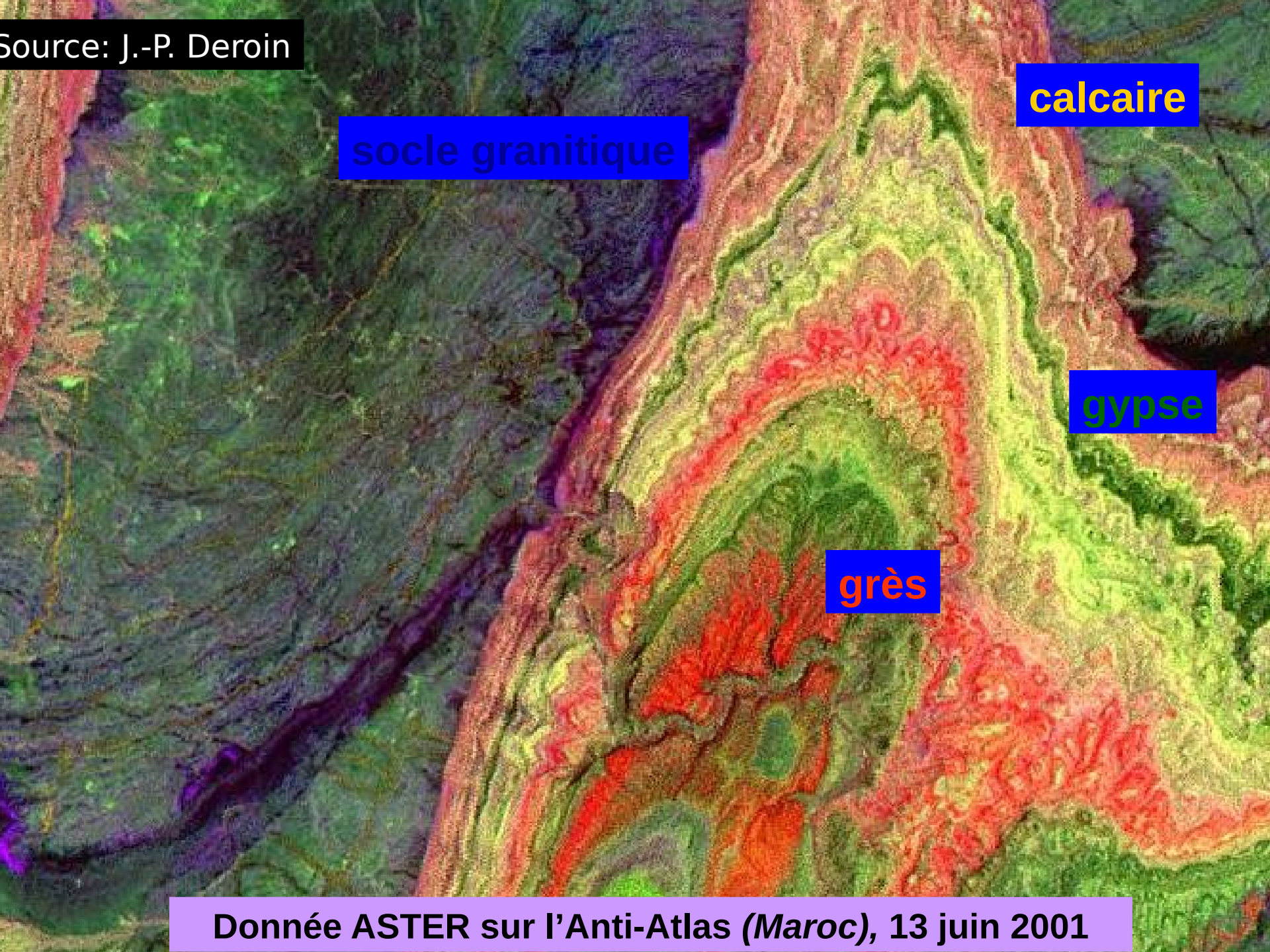


Canal Proche-InfraRouge
(0.7-0.9 μm)





Source: J.-P. Deroin



socle granitique

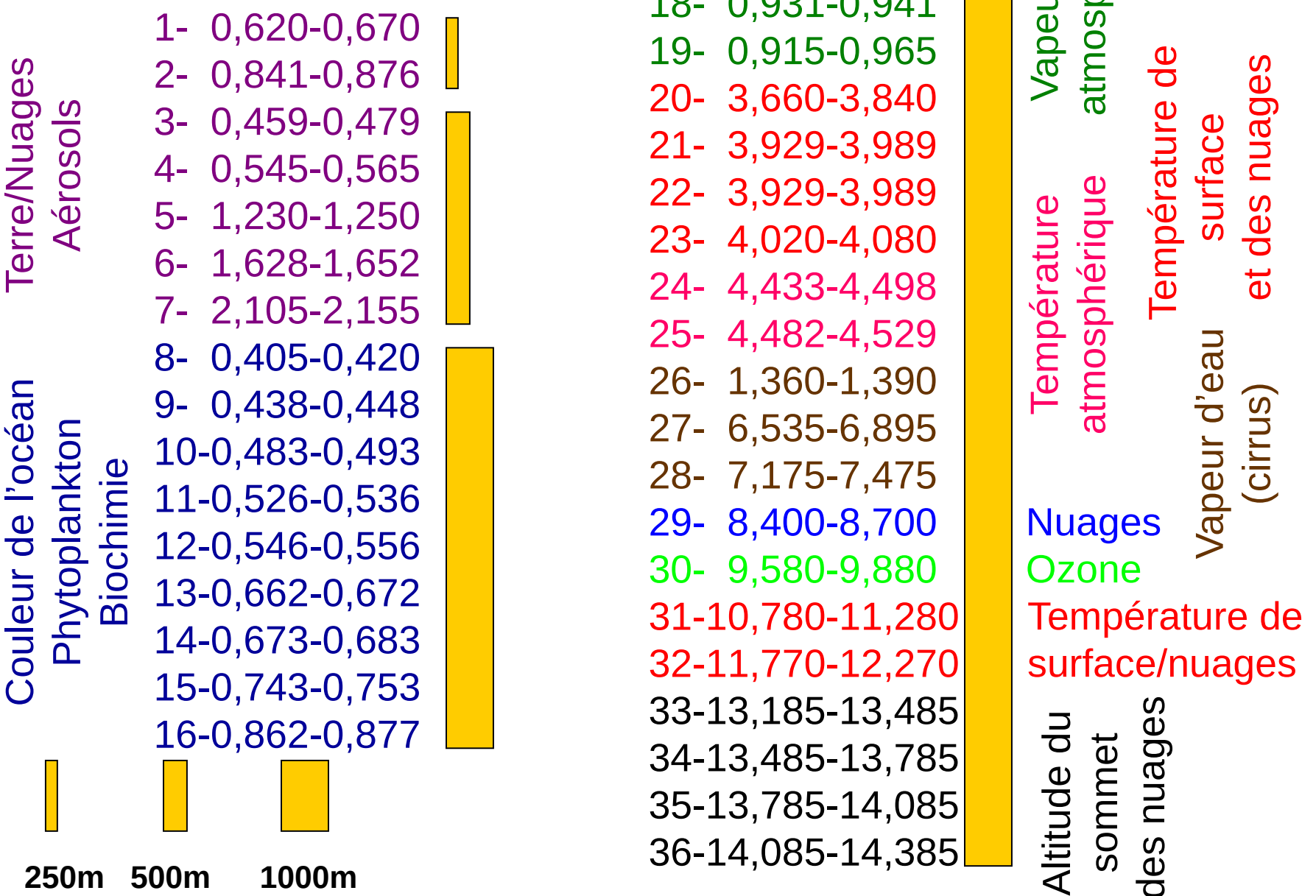
calcaire

gypse

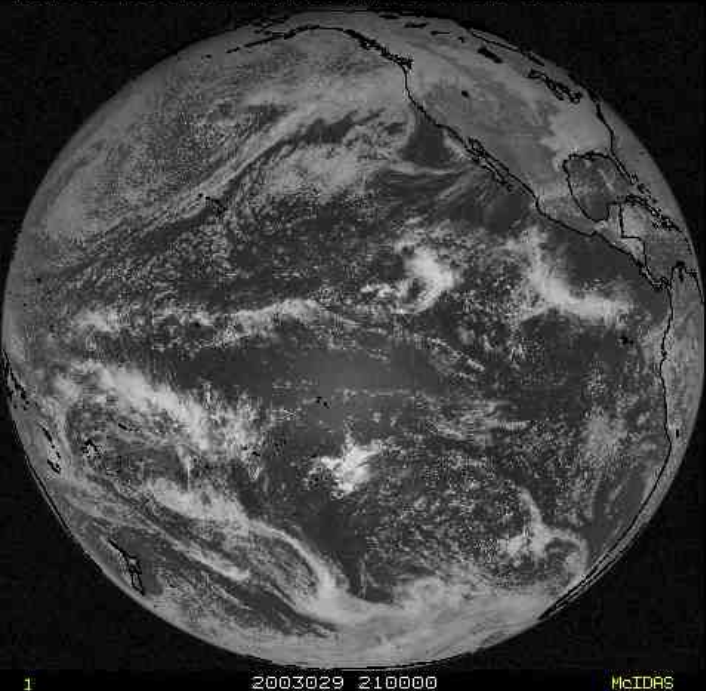
grès

Donnée ASTER sur l'Anti-Atlas (Maroc), 13 juin 2001

Multispectral : Exemple de MODIS (36 canaux [μm])



GOES-10 VIS GLOBE FOR 29 JAN 03 AT 21:00 UTC



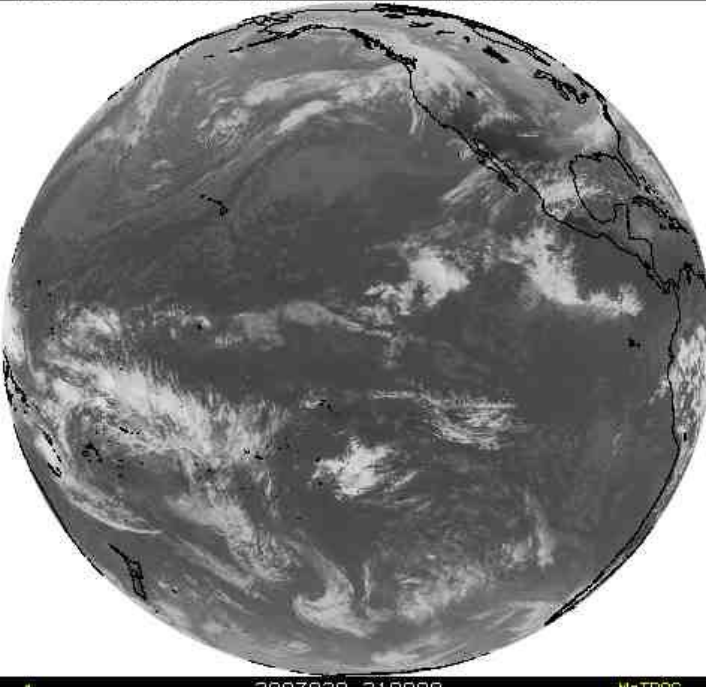
Satellites GOES

Visible

GOES-8 VIS GLOBE FOR 29 JAN 03 AT 17:45 UTC



GOES-10 IR GLOBE FOR 29 JAN 03 AT 21:00 UTC



Infra-Rouge

GOES-8 IR GLOBE FOR 29 JAN 03 AT 17:45 UTC

